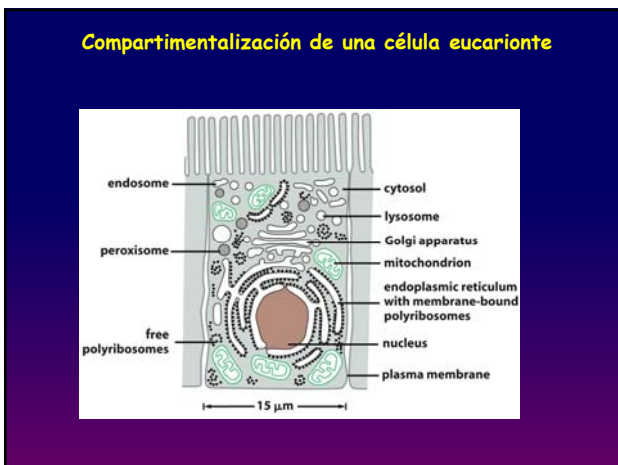
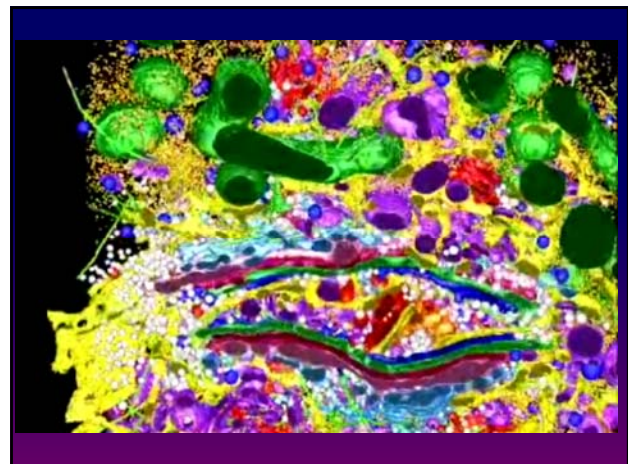
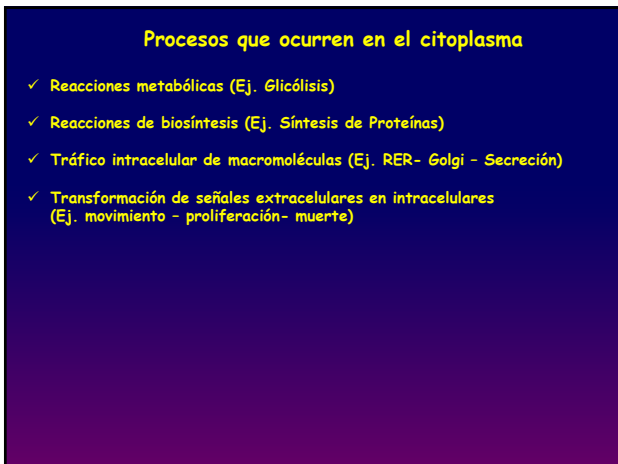
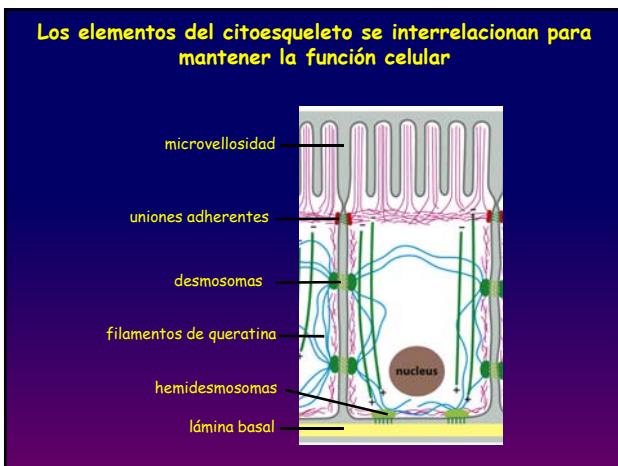
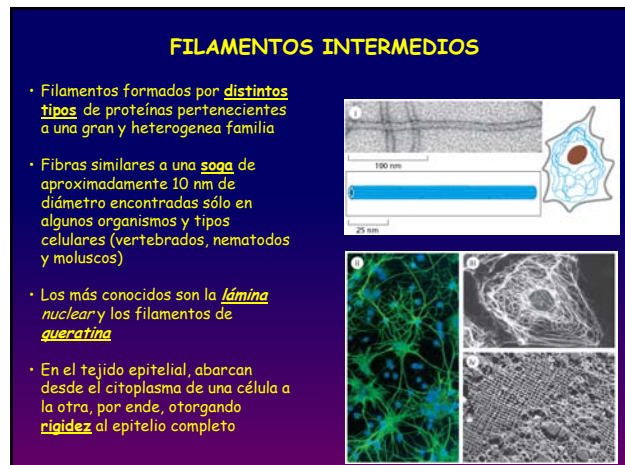
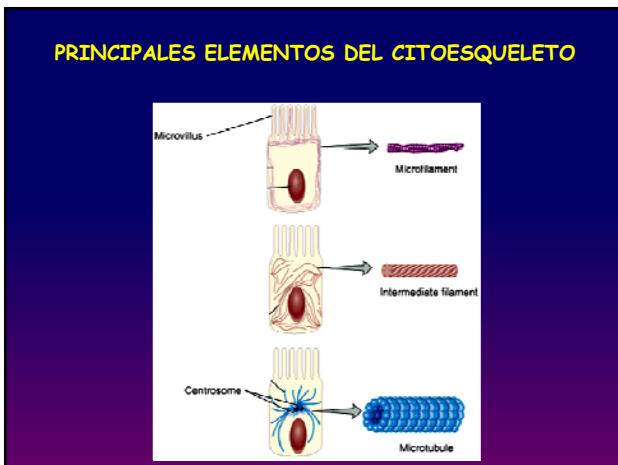


Volúmenes relativos ocupados por los principales compartimentos intracelulares en un hepatocito

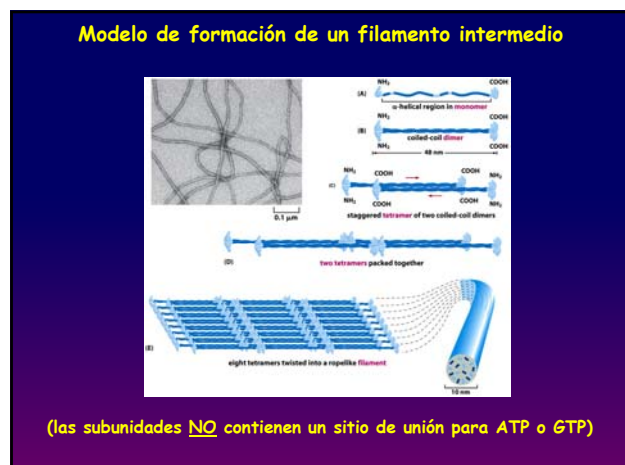
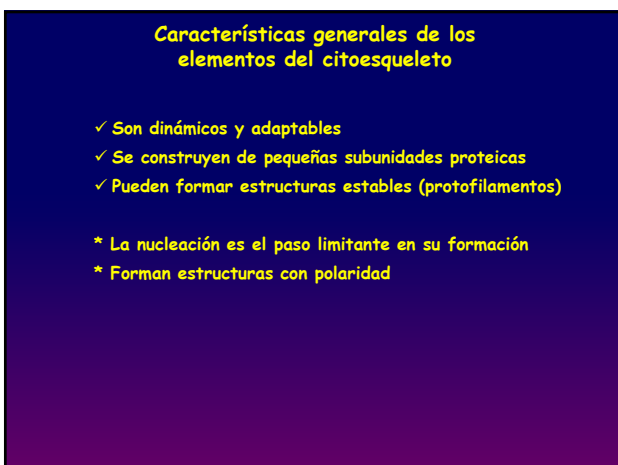
INTRACELLULAR COMPARTMENT	PERCENTAGE OF TOTAL CELL VOLUME
Cytosol	54
Mitochondria	22
Rough ER cisternae	9
Smooth ER cisternae plus Golgi cisternae	6
Nucleus	6
Peroxisomes	1
Lysosomes	1
Endosomes	1

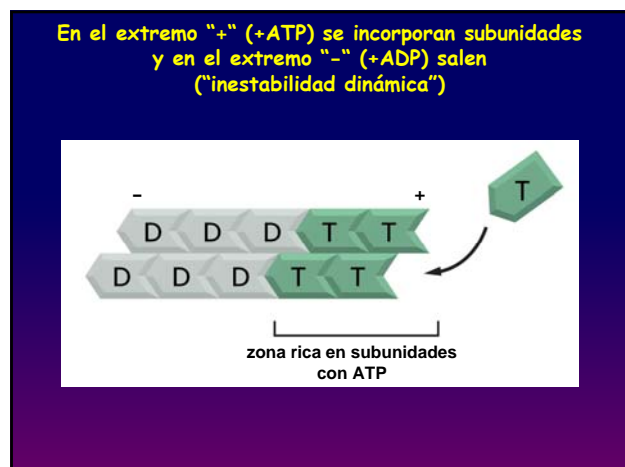
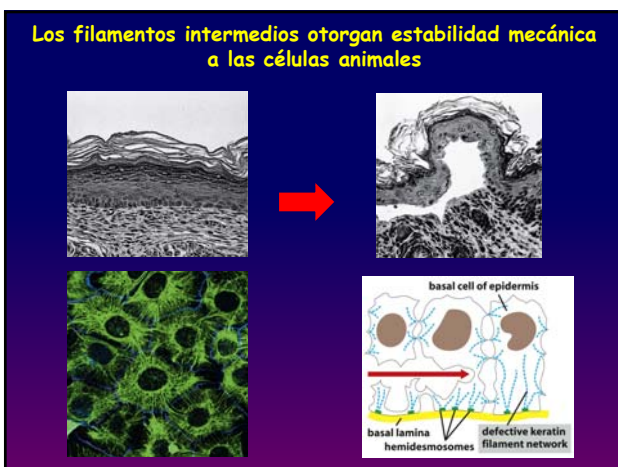
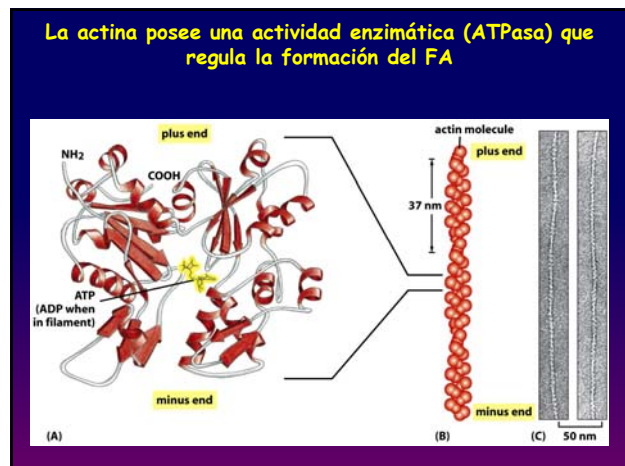
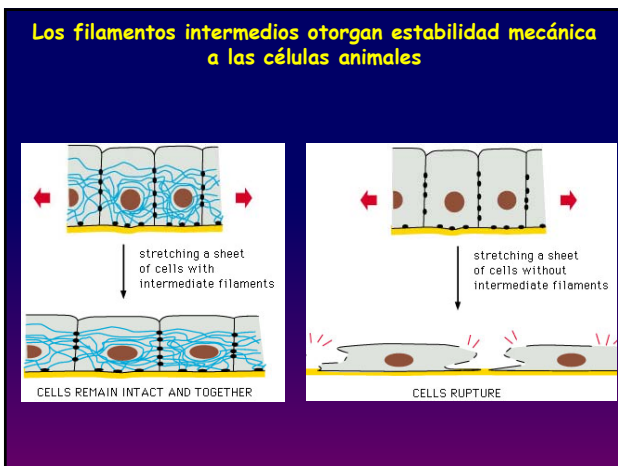
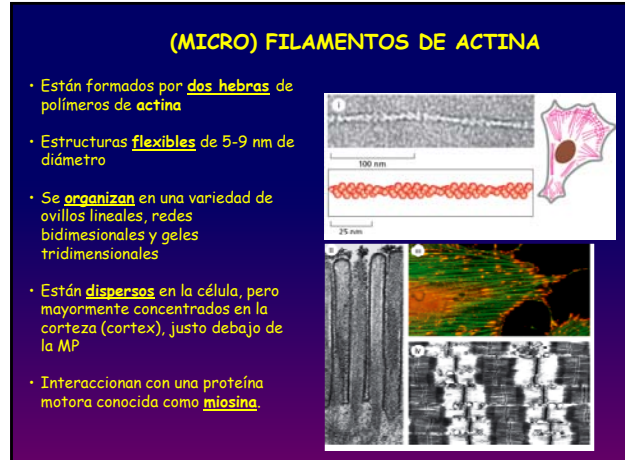
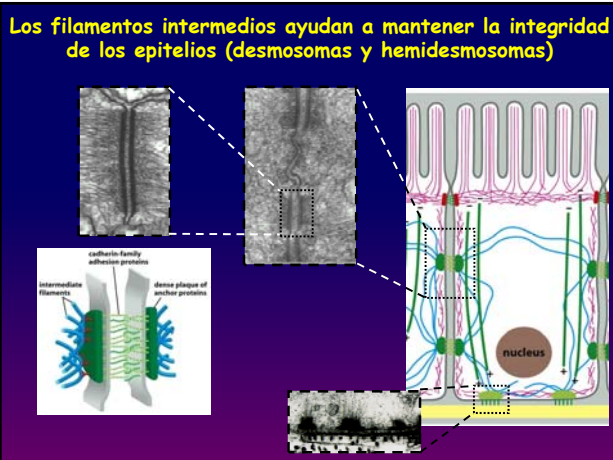




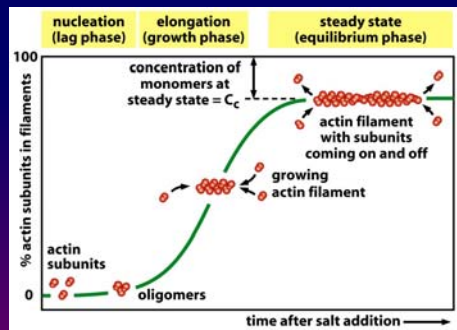
### Principales tipos de filamentos intermedios

TIPO	PROTEÍNA (MASA EN kD)	LOCALIZACIÓN
Láminas nucleares	Láminas A, B y C (65 a 75)	Envoltura Nuclear
Vimentina y proteínas relacionadas	Vimentina (54) Desmina (53) Proteína glial (50) Periferina (66)	Células de origen mesenquimático Músculo Astrocitos Neuronas
Queratinas	Tipo I ácida (40-70) Tipo II neutra /básica	Células epiteliales
Axonales	Proteína de neurofilamentos (50-130)	Neuronas

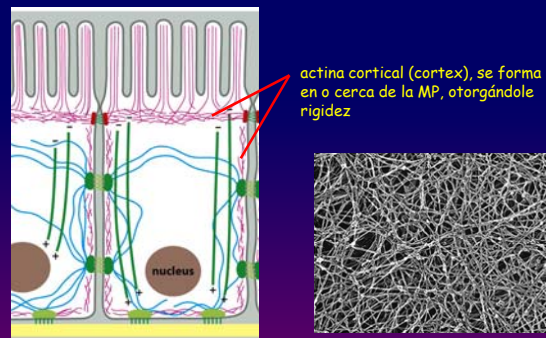




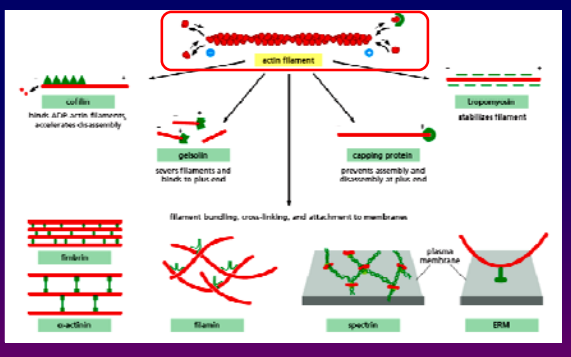
### La nucleación es crucial para la formación del FA



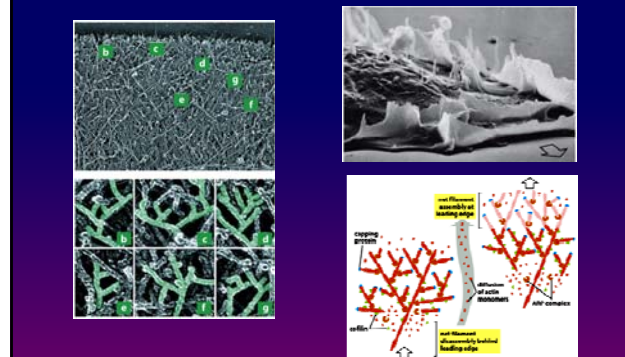
### Los FA ayudan a mantener la integridad en los epitelios



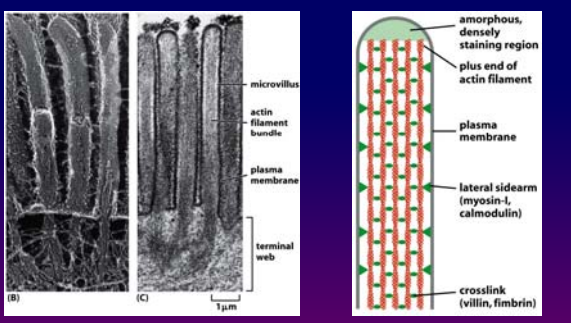
### Los FA se pueden asociar con otras proteínas del citoesqueleto, alterando su inestabilidad dinámica



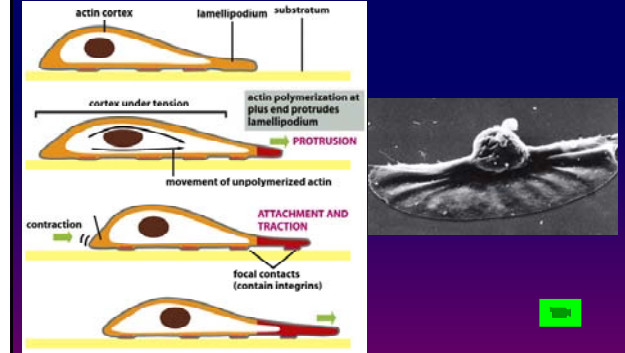
### Los lamelipidos se forman por FA localizados en el frente de avance



### Los filopodios y las microvellosidades comparten el mismo tipo de distribución de FA



### Los lamelipodos se forman por FA localizados en el frente de avance



**Los FA se pueden asociar a una proteína motora: MIOSINA**

The diagram illustrates the structure of myosin, showing a coiled-coil of two  $\alpha$  helices (length: 150 nm) with a C-terminus and N-terminus. The neck or hinge region contains light chains. Below the diagram is an electron micrograph of actin filaments (100 nm scale bar). To the right is a schematic of the myosin motor domain, which includes the lever arm, converter domain, ATP binding sites, and actin binding sites.

**MICROTUBULOS**

- Cilindros huecos formados por polímeros de **tubulina**
- Estructuras **rígidas** de 25 nm de diámetro
- Son **largos y rectos** y en general están unidos por el ext (-) a un COMT (**centrosoma**).
- Muchas propiedades **dinámicas** compartidas con los FA
- Participan en tráfico de organelos producto de su **instabilidad** dinámica y su interacción con varias prot motoras, **kinesinas** y **dineinas**.

Panel I shows a longitudinal section of a microtubule with a 100 nm scale bar. Panel II shows a cross-section of microtubules with a 25 nm scale bar. Panels III and IV show microtubules in a cell with green and blue fluorescence markers. Panel V is a high-magnification electron micrograph of a microtubule with a 10 nm scale bar.

**La miosina genera la fuerza del movimiento acoplando la hidrólisis del ATP a los cambios conformatacionales**

The diagram shows the myosin motor cycle: actin filament (minus end to plus end) binds to myosin heads. ATP hydrolysis leads to a power stroke, causing the myosin thick filament to move towards the plus end of the actin filament. The cycle then repeats.

**La subunidad  $\beta$ -tubulina contiene una actividad enzimática (GTPasa) que regula la formación del MT**

(A) Schematic of  $\beta$ -tubulin monomer and  $\alpha$ -tubulin monomer forming a heterodimer. (B) A protofilament is shown with its plus end and minus end. (C) A microtubule structure with its lumen. (D) A longitudinal section of a microtubule with a 50 nm scale bar. (E) An electron micrograph of a microtubule with a 10 nm scale bar.

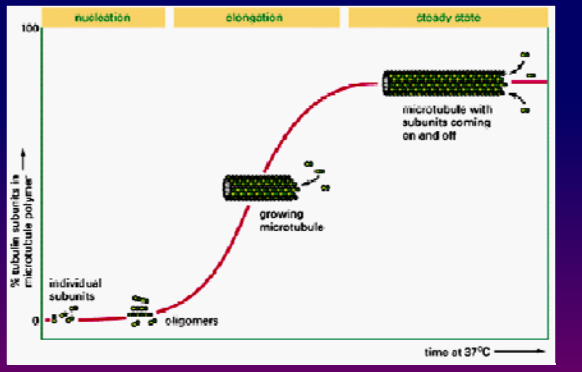
**La actina cortical y la miosina participan en la formación del anillo contráctil durante el proceso de citokinesis**

The diagram shows a cell undergoing cytokinesis, with actin and myosin filaments forming a contractile ring at the equator. Below is a scanning electron micrograph of a cell with a prominent contractile ring.

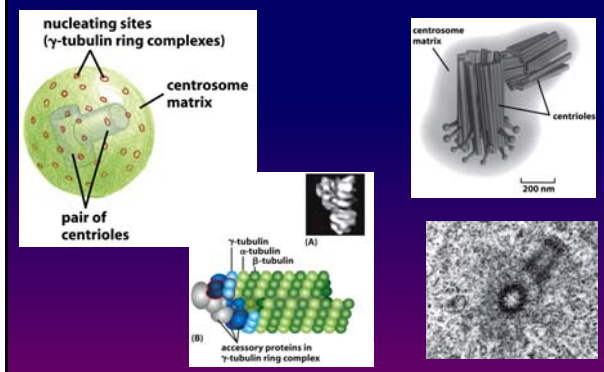
**La dinámica de polymerización de los MTs también genera polaridad, es decir extremos (+) y (-)**

The diagram illustrates the polymerization and depolymerization of a GTP-tubulin dimer. It shows the exchange of GTP for GDP, the hydrolysis of GTP to ADP, and the resulting changes in subunit conformation and bond strength. This process leads to the formation of straight protofilaments and curved protofilaments, eventually resulting in depolymerization and the formation of a GDP-tubulin dimer. The micrograph shows newly formed microtubules with their plus end and minus end labeled, and a 1  $\mu$ m scale bar.

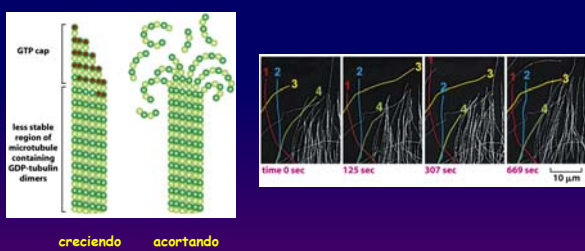
La formación de los MTs también depende de un evento de nucleación



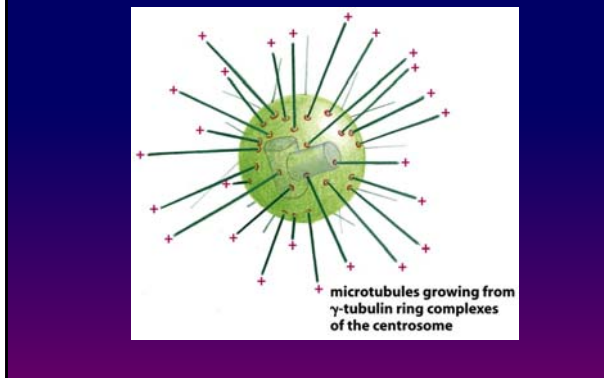
Las células animales tienen un *centro organizador de MTs* (centrosoma) localizado cerca del núcleo (imp γ-tubulina)



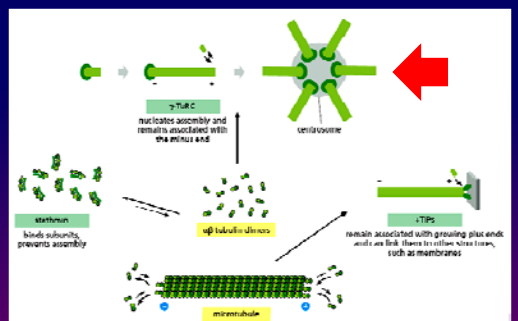
Los MTs están continuamente creciendo y acortándose, similar a lo que ocurre con el FA (inestabilidad dinámica)



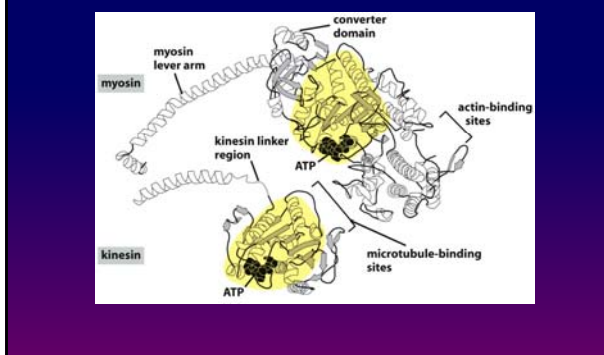
En el centrosoma los MTs emanan desde su extremo (-)

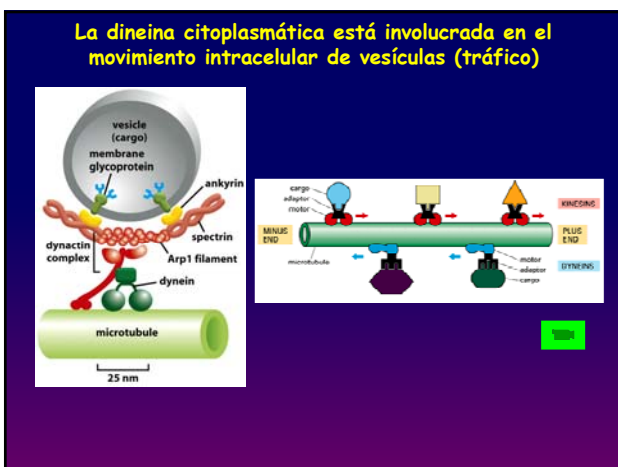
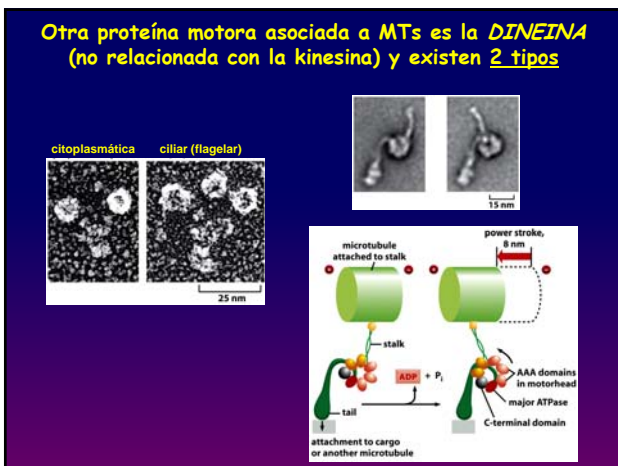
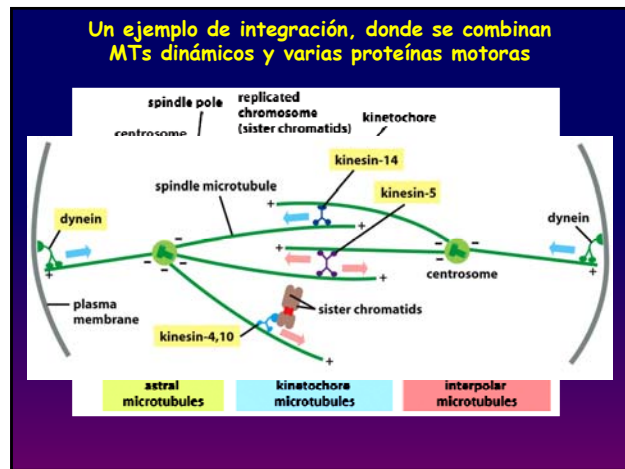
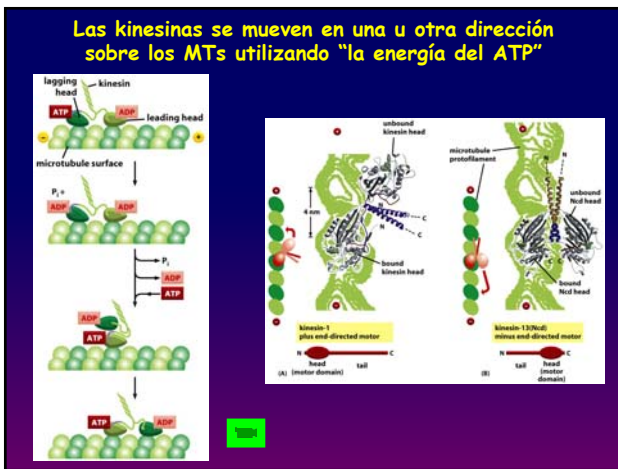


Los MTs también se pueden asociar con otras proteínas del citoesqueleto que alteran su inestabilidad dinámica

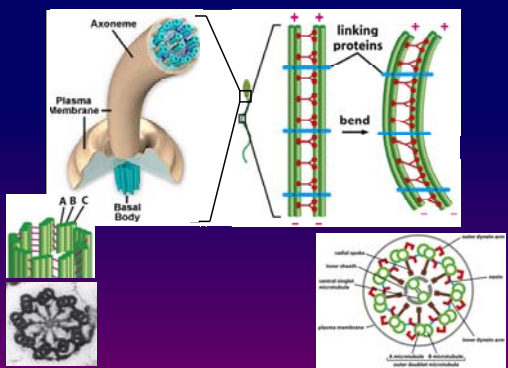


Una proteína motora asociada a los MTs es la **KINESINA** (muy similar a la miosina)





**El movimiento de cilios y flagelos es producido por la torción de los MTs que forman el axonema**



**El movimiento axonemal es de látigo en flagelos y cilios**

